

1. 緒言

二媒質写真の解析的標定法には、單写真の標定理論を使用して個々の写真的外部標定要素および屈折面を規定する要素を計算する方法と、実体写真的標定理論に従い、1対の二媒質写真的標定を相互標定と対地標定とに分けて実施する方法がある。これらの場合のうち、前者の方法および複数の場合で相互標定におけるモデル座標系を任意に選ぶ、そのモデル座標系に対して相互標定要素を決定し、対地標定は一媒質写真的場合と全く同じように行なう方法については既に報告してきたが、ここでは1対の二媒質写真的相互標定段階に K. Rinner の考え方を適用した場合について考察してみよう。

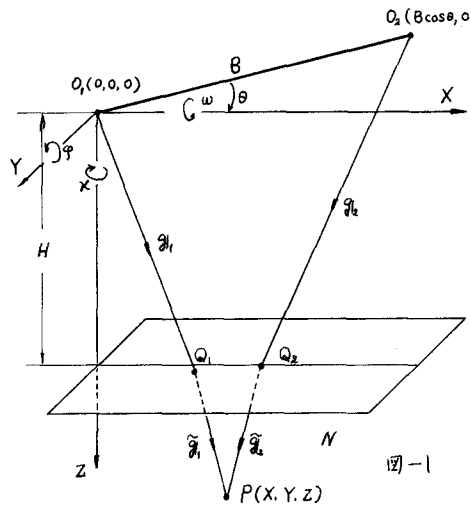


図-1

$O_2(B\cos\theta, 0, B\sin\theta)$ K. Rinner のモデルでは屈折面が平面であり、相互標定のモデル座標系 (X, Y, Z) は左側写真的投影中心 O_1 を原点とし、 X 軸は左側写真的投影中心 O_2 の方向に屈折面に平行に選ぶ。また、 Y 軸は X 軸と直交して屈折面に平行に、 Z 軸は X, Y 軸に直交して（屈折面に垂直に）下向きにとする。モデル座標系と屈折面との関係をこのように固定してしまうと、モデル座標系を任意に選んだ場合の 8 個の相互標定要素から 5 個の屈折面を規定する要素（この場合平面の方程式式の 3 個の係数）を 1 対の写真的外部標定要素で置き換える必要が生ずる。Rinner はこの置換法と 1. で述べられた方法を用いたが、それ以外の置換法も考えられるので、2. でこれらについて詳しく述べる。相互標定要素の計算には対応する 2 本の屈折光線の交点条件が使用される（図-1 参照）。

一方、K. Rinner のモデルを使用した場合の対地標定は、その相互標定段階で既に 1 対の写真的 12 個の外部標定要素から 5 個の要素が決定されたわけであるから、残りの 4 個を対地標定要素としてあればよいわけで、非常に簡単になる。

2. K. Rinner のモデルを使用した場合の 1 対の二媒質写真的相互標定

2-1 独立モデル法による方法 (K. Rinner の方法)

モデル座標系 (X, Y, Z) は 1. で説明したように選び、相互標定要素としては X, Y, Z 軸のまわりの左右カメラの回転要素 ($\varphi_1, \omega_1, \chi_1, \varphi_2, \omega_2, \chi_2$)、基線高度比 R^* 、および左右カメラの高度差を表す Δz を用いる。つまり、モデル座標系で屈折面を規定する要素を 1 対の写真的外部標定要素で置換する方法として、この場合屈折面の傾斜角を ω に ω_1 (または ω_2)、 Δz 、屈折面からモデル座標系の原点までの距離 R に基線高度比 R^* (基線長を 1 と仮定) が使用されている（図-2 参照）。1 対の二媒質写真的これら 8 個の相互標定要素 ($\varphi_1, \omega_1, \chi_1, \varphi_2, \omega_2, \chi_2, \Delta z, R^*$) を求めるためには、対応する 2 本の屈折光線 g_1 ($\bar{x}_1, \bar{y}_1, \bar{z}_1$) および g_2 ($\bar{x}_2, \bar{y}_2, \bar{z}_2$) の交点条件を用いるが、この交点条件はつきのようにして見出せる。まず、左右の写真座標および相互標定要素を用いて対応する 2 本の入射光線 g_1 (l_1, m_1, n_1) および g_2 (l_2, m_2, n_2) の方程式を立て、これらを使って左右光線 g_1, g_2 の入射点 Q_1 (

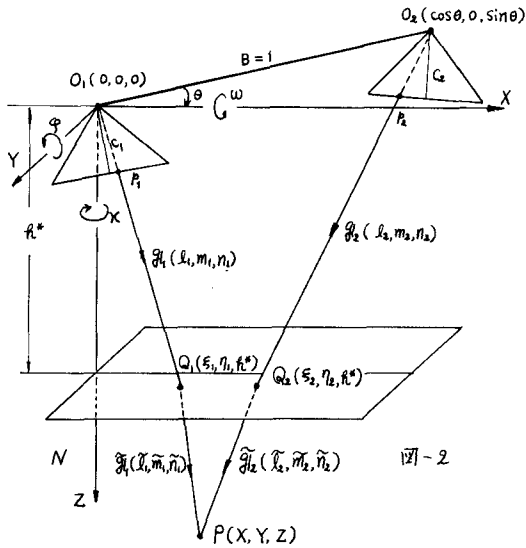


図-2

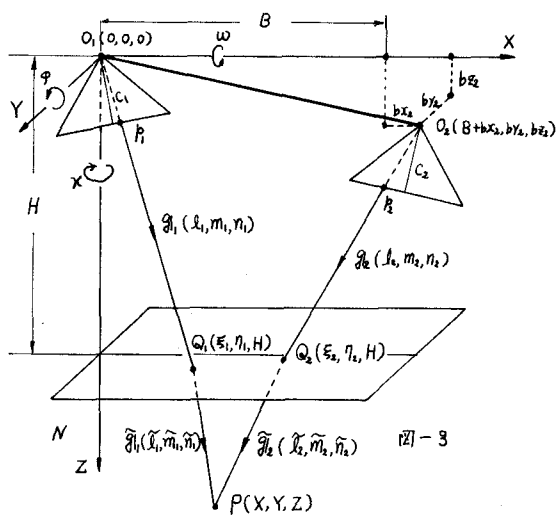


図-3

$w_1, q_1, w_2, q_2, b_{x2}, b_{y2}, b_{z2}$ のように順序を揃えて書いてみると簡単にわかるように、両者の相違は ω_1 が b_{y2} と日が b_{z2} と入る換りであります。 ω_1 と b_{y2} 、日と b_{z2} は原理的に同じものであるから、両者は原理的に同じ方法である。ただし、この接続標定法による方法を基礎にして考えると、一連の二媒質写真をつぎつぎ接続してゆく場合、たとえば第 $(n+1)$ 写真に第 n 写真と接続して第 $n+1$ モデルをつくる場合、第 $(n+1)$ 写真の外部標定要素 $(q_{n+1}, w_{n+1}, b_{xn+1}, b_{yn+1}, b_{zn+1})$ の 6 個の要素のみで接続可能となり、非常に便利である。なお、8 個の外部標定要素は 2-1 の独立モデル法による場合と同様に対応する 2 本の屈折光線筋 $(\tilde{g}_1, \tilde{m}_1, \tilde{n}_1)$ および $(\tilde{g}_2, \tilde{m}_2, \tilde{n}_2)$ (図-3 参照) の交会条件より求められる。

3. 結言

以上 K. Rinner のモデルを適用した場合の 1 枚の二媒質写真の 2 種類の相互標定法を紹介したが、これららの方法の最大の欠点はモデル座標系を任意に選んだ場合と比較して一般性が欠如していることである。なお、この撮合式地標定法の特長、数学モデルを使って検討した K. Rinner のモデルの特性、さらにモデル座標系を任意に選んだ場合との詳しい比較等は講演時にゆずる。

$\xi_1, \eta_1, \varsigma_1$ および $\tilde{g}_1 (\xi_1, \eta_1, f^*)$ と $\tilde{g}_2 (\xi_2, \eta_2, f^*)$ を計算する。つきに、屈折の一般法則を使用して対応する 2 本の入射光線の方向余弦 (l_1, m_1, n_1) および (l_2, m_2, n_2) が対応する 2 本の屈折光線の方向余弦 $(\tilde{l}_1, \tilde{m}_1, \tilde{n}_1)$ および $(\tilde{l}_2, \tilde{m}_2, \tilde{n}_2)$ を求める。これらがわかれば、対応する 2 本の屈折光線筋および筋の方程式は

$$\tilde{g}_1: \frac{X - \xi_1}{\tilde{l}_1} = \frac{Y - \eta_1}{\tilde{m}_1} = \frac{Z - f^*}{\tilde{n}_1}$$

$$\tilde{g}_2: \frac{X - \xi_2}{\tilde{l}_2} = \frac{Y - \eta_2}{\tilde{m}_2} = \frac{Z - f^*}{\tilde{n}_2}$$

のように表わすことができる、これらの交会条件は、

$$\begin{vmatrix} \xi_1 - \xi_2 & \tilde{l}_1 & \tilde{l}_2 \\ \eta_1 - \eta_2 & \tilde{m}_1 & \tilde{m}_2 \\ 0 & \tilde{n}_1 & \tilde{n}_2 \end{vmatrix} = 0$$

となる。

2-2 接続標定法による方法

モデル座標系 (X, Y, Z) は 1-1 で説明したように選び、相互標定要素としては 1 枚の二媒質写真的相互標定で接続標定法を使用する場合に用いられる右側写真から 5 個の外部標定要素 $(q_2, w_2, X_2, b_{y2}, b_{z2})$ および右側写真の X 軸方向への移動量 b_{x2} 、左側写真的回転要素 ω_1 、 ω_1 を採用する。つまり、この場合は屈折面(平面)をモデル座標系で規定する 3 個の要素を (q_1, ω_1, b_{x2}) で置き換えているが、2-1 の独立モデル法を使用する場合と比較してみよう。基線高度比 ω_1 と右側写真的 X 軸方向への移動量 b_{x2} は原理的に同じものである。他の 7 個の要素を $(q_1, w_1, q_2, w_2, X_1, \omega_1, \theta)$ (独立モデル法の場合)、 $(q_1,$

$w_1, q_2, w_2, X_1, b_{y2}, b_{z2})$ のように順序を揃えて書いてみると容易にわかるように、両者の相違は ω_1 が b_{y2} と日が b_{z2} と入る換りであります。 ω_1 と b_{y2} 、日と b_{z2} は原理的に同じものであるから、両者は原理的に同じ方法である。ただし、この接続標定法による方法を基礎にして考えると、一連の二媒質写真をつぎつぎ接続してゆく場合、たとえば第 $(n+1)$ 写真に第 n 写真と接続して第 $n+1$ モデルをつくる場合、第 $(n+1)$ 写真的外部標定要素 $(q_{n+1}, w_{n+1}, b_{xn+1}, b_{yn+1}, b_{zn+1})$ の 6 個の要素のみで接続可能となり、非常に便利である。なお、8 個の外部標定要素は 2-1 の独立モデル法による場合と同様に対応する 2 本の屈折光線筋 $(\tilde{g}_1, \tilde{m}_1, \tilde{n}_1)$ および $(\tilde{g}_2, \tilde{m}_2, \tilde{n}_2)$ (図-3 参照) の交会条件より求められる。